

## Flyback Converter를 병렬운전한 1kW급 직류전원

김 성 철<sup>1</sup>, 이 기 선<sup>2</sup>, 노 준 택<sup>3</sup>, 고 인 수<sup>4</sup>  
포항공대 포항가속기연구소

### 1kW class DC power supply by parallel operation of the flyback converter

Sung Chul Kim<sup>1</sup>, Gi Sun Lee, Jun Tak Nho, In Soo Ko  
Pohang Accelerator Laboratory, POSTECH

**Abstract** – There are increasing demands on high accuracy DC power supplies for various basic science research, such as accelerators and plasma applications, in Korea. In this paper, we present a study on 1kW class DC power supply using the parell operation method of the flyback converters. This DC power supply is equipped with a remote controller for computer interface. A Serial Communication Controller(SCC) is also developed for large scale scientific facilities which is capable of handling upto 32 power supplies simultaneously with one serial port in the host computer.

### 1. 서 론

최근 가전, 민생기기를 비롯하여 통신기기, 제어기기, 정보관련기기 뿐만아니라 기초과학 분야에서 요구되는 직류전력 변환장치가 고정도 고효율화, 소형 경량화 및 대전력화가 요구되고 있다. 전류형 소자(SCR류)를 SMPS의 스위칭소자로 사용할 경우 게이트 펄스의 주파수를 제어하는 PFM-TRC 방식이 일반적으로 이용되나 이 방식은 출력전류 리플 및 출력필터가 제어동작 영역에 따라 커지는 단점이 있고 응답성이 문제로 되어 있다. 그러나 자기 소호 능력을 가진 반도체소자를 전력변환장치에 적용하여 고주파 영역에서 스위칭 시킴으로서 회로 전체의 손실을 저감시킬 수 있고 장치의 소형 경량화 시킬 수 있다. 본 연구에서는 Power MOSFET를 사용하여 PWM-TRC의 적용이 가능한 4개의 flyback DC/DC 컨버터를 이용한 +/-25V/25A(부하1Ω)의 출력의 전원에 대하여 기본 동작원리, 회로구성 및 컴퓨터 인터페이스를 위한 콘트롤러에 대하여 설명하고 실험결과를 통하여 실용화에 따른 제반사항을 검토하고자 한다.

### 2. 본 론

#### 2.1 동작원리

Flyback 컨버터는 수W ~ 150W까지의 출력에 폭넓게 사용되고 있다. 이 토플로지는 출력 인덕트를 사용하지 않으므로 비용과 부피를 줄일 수 있는 장점이 있고 고전압/저전류 혹은 다출력 전원에 많이 적용된다. 본 연구는 13V/13A 출력의 flyback 컨버터를 4개를 직/병렬로 이용한 +/-25A/25V 용량의 전원에 대한 것이다. 이 전원의 기본회로는 불연속 동작 flyback 컨버터이다.(그림 1) 기본동작은 다음과 같다. Q1이 온이면 D1은 역으로 바이어스되고 출력 캐패시터는 부하로 전류를 공급한다. 이때  $L_p$ 는 순수한 인덕터로 동작하고 1차전류는  $I_p$ 가 최대가 될 때까지 흐른다. Q1이 오프되면 1차에 저장된 에너지( $1/2 L_p I_p^2$ )는 2차로 전달되고 이때 D1은 정 바이어스가 되어 부하 캐패시터로 Q1이 온 일 때 잃어버린 에너지를 공급한다. Q1이 다음 온이 되기전에 2차전류가 영이되면 회로는 불연속으로 동작한다

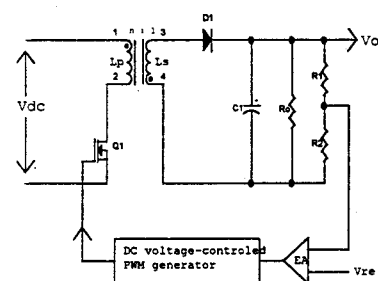


그림1 flyback converter

에너지저장 구간동안 1차권선은 직렬 인덕터와 같다. 이때 1차전류  $I_p$ 의 변화는 식(1)과 같고 이 구간  $L_p$ 에서 자속밀도는 그림 2에서와 같이 잔류값  $B_r$ 에서 최대 동작값  $B_w$ 로 증가한다.

$$\frac{dI_p}{dt} = \frac{V_{dc}}{L_p} \quad (1)$$

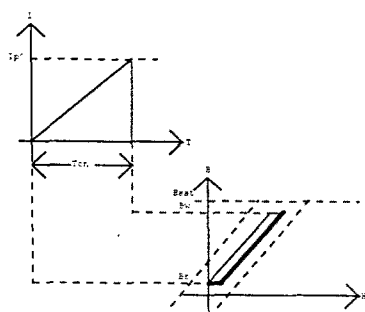


그림 2 에너지 저장구간의 1차 전류 및 자화

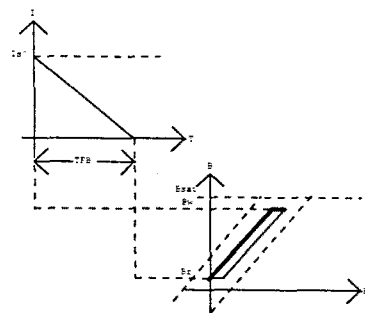


그림 3 에너지 전달구간의 2차 전류 및 자화

$Q1$ 이 오프되면 1차전류는 영이된다. 에너지 전달구간동안 자속밀도가 부(-)가되고 전압은 모든권선에 대하여 역으로 바이어스되어  $D1$ 이 도통되고 자화전류가 2차로 전달된다. 이때 전달된 전류( $I_s = n \times I_p$ )는 최대값에서 시작하여 영으로 감소하게된다. 불연속 동작모드는 항상 전달구간이  $Q1$  오프구간 보다 적고 코어에서의 자속밀도는 최대값  $B_w$ 에서 잔류값  $B_r$ 로 감소하게된다. 2차전류  $I_s$ 의 변화는 식(2)와 같다.

$$\frac{dI_s}{dt} = \frac{V_s}{L_s} \quad (2)$$

한주기 동안에 입력( $V_{dc}$ )으로부터 유기되는 에너지는 식(3)과 같다.

$$P = \frac{(V_{dc} T_{on})^2}{2 T L_p} \quad (W) \quad (3)$$

효율을 80%로 가정할 때 출력전압은 식(4)와 같다.

$$V_o = V_{dc} T_{on} \frac{\sqrt{R_o}}{\sqrt{2.5 T L_p}} \quad (V) \quad (4)$$

## 2.2 회로구성

13A/13V 직류전원을 가지고 +/-25A/25V 출력의 전원을 구성하기 위하여 그림4와 같이 회로를 구성하였다. flyback 토플로지를 이용한 13A/13V 출력의 전원을 2개씩 직병렬로 연결하여 25A/25V 출력이 가능한 전원을 구성하였고 부하에 대하여 1, 4 상한 동작을 시키기 위하여 부하측에 SCR을 브릿

지로 구성하였다. 그리고 정전압과 정전류 동작(정밀도 +/-0.1%)이 가능하도록 출력전압과 출력전류를 feedback 시켰다. 출력 필터는 low pass 필터를 사용하였다.

## 2.3 원격제어

이 전원을 대형설비에 대량으로 적용하기 위하여 컴퓨터 인터페이스를 위한 컨트롤러를 전원내부에 실장시켰다. 그리고 여러개의 전원을 통합 제어하기 위한 컨트롤러(SCC)개발 하였다. 이것을 이용하면 컴퓨터 사용하여 전원을 32개까지 원격제어 할 수 있다.(그림 5)

## 2.4 실험 및 제작

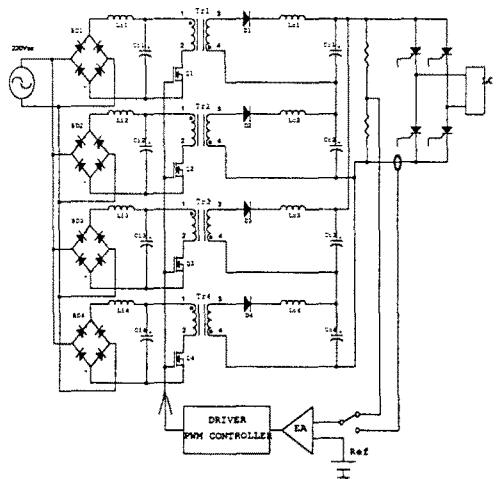


그림 4 Flyback 컨버터를 직/병렬 운전 직류전원

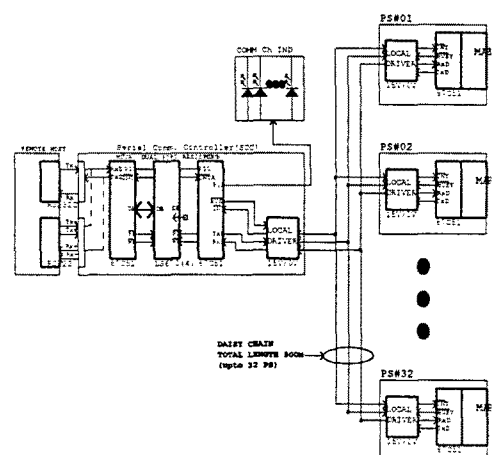


그림 5 컴퓨터를 이용한 원격제어

그림 4의 전원에 대하여 모의실험 및 실제작을 한 주요 부품 및 파라메타는 다음과 같다.

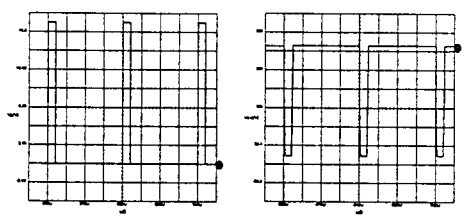
BD1 - BD4 : KBPC10-08

Ci1 - Ci4 : 2200μF/250WV

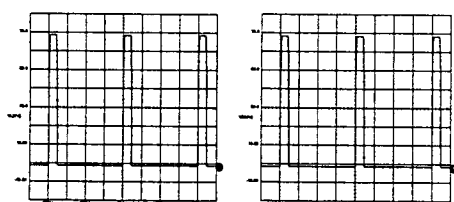
Trans. : BM-2N(Mn-Zn)/

(L<sub>1</sub>=10mH, L<sub>2</sub>=2mH(Litz wire))  
 Q1 - Q3 : IRF450 x 3  
 D1 - D4 : D10LC20U  
 L<sub>o1</sub> - L<sub>o4</sub> : 470μH  
 C<sub>o1</sub> - C<sub>o4</sub> : 3300μF  
 Current Feedback : from DCCT LA55-P  
 Switching Frequency : 47.6kHz  
 Max. on time : 3.8μs  
 Load : magnet( $Z_L=1\Omega$ )

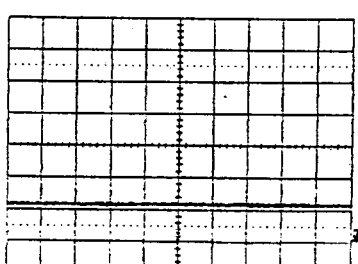
이상의 것들을 이용한 실험파형은 아래와 같다.



Q1 Gate(V)      Q1 Drain-Source(V)

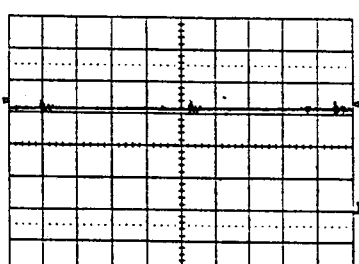


L2(V)              D1(V)  
 과형 1 각부 모의실험파형



과형 2 출력전류

(I<sub>out</sub>=12.5A, R<sub>L</sub>=0.6Ω/5μs, 10A/div)



과형 3 출력전압

(I<sub>out</sub>=12.5A, R<sub>L</sub>=0.6Ω/5μs, 2V/div)

OUTPUT CURRENT to GATE ON TIME

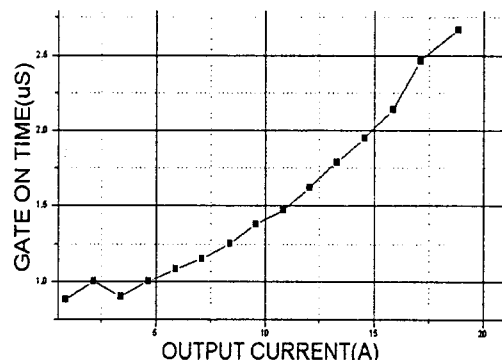


그림 6 Gate ON time 변화에 따른  
 출력전류변화(R<sub>L</sub>=0.6Ω)

이와같은 실험을 가지고 제작한 시제품의 주요사양은 표1과 같다.

항 목		내 용
입 력		1상 220V 60Hz
출 력	전 압	output range : 0 - +/−25V DC load regulation : +/− 0.1%+30mV
	전 류	output range : 0 - +/−25A DC load regulation : +/− 0.1%+30mV
스위칭 주파수		47.6kHz
제어방식		PWM 제어
Trans		BM-2N(Mn-Zn)
원격제어	PS 단독	RS232C
	SCC 이용	1 stop, 8 bit, no parity, 9600BPS RS232C or RS422 32set까지 통합제어 (RS232C/RS422-SCC-RS323C-PS) 1 stop, 8 bit, no parity, 9600BPS
protection		OV/OC/OT(ps)/OT(load)

표 1 시제품의 주요사양

### 3. 결 론

표1의 사양을 가진 전원을 원격제어용 콘트롤러를 내장시켜 전원 하나의 크기를 210 x 220 x 550로 제작하여 19" x 5U에 2개의 전원을 실장시킬수 있도록 제작하였고 이들을 32개까지 통합제어 할 수 있는 시리얼 콘트롤러라도 제작하였다. 이를 이용하면 이러한 직류전원이 대량으로 필요한 설비에 매우 유용하리라 생각된다.

### [참 고 문 헌]

- [1] SLOBODAN C'UK, "Basic of Switch-mode power conversion: Topologies, Magnetics, and Control," Powerconversion International, 32pp, Oct. 1981.